

# ارائه مدل ریاضی بر اساس حساسیت‌های الکتریکی و مغناطیسی برای یک فراسطح منعکس‌کننده ایده‌آل بدون امواج ناخواسته

الهام مرادی و مسعود موحدی

تحقیقات قابل توجهی برای رفع این چالش‌ها انجام شده است [۱]. سطوح هوشمند قابل تنظیم (RIS) [۲] که به عنوان سطوح بازتابنده هوشمند (IRS) نیز شناخته می‌شوند [۳]، فناوری‌های نویبخشی هستند که قادر به هوشمندسازی محیط انتشار بی‌سیم می‌باشند. این سطوح قادرند امواج الکترومغناطیسی (EM) را که به آنها برخورد می‌کنند با هوشمندی تغییر داده و آنها را به زوایای موردنظر هدایت نمایند. این قابلیت به آنها این امکان را می‌دهد که پوشش مخابراتی کارامدی را در نقاط کور شبکه ارائه داده و توانایی پاسخگویی به تقاضای روزافرون برای برقراری ارتباطات در مقیاس بزرگ را داشته باشند.

RIS‌ها معمولاً صفحات فراسطحی هستند [۴] که توسط یک واحد کنترل، مدیریت می‌شوند. اخیراً تعداد زیادی از گروه تحقیقاتی به بررسی کاربردهای بالقوه این فناوری در سیستم‌های ارتباطی بی‌سیم آینده پرداخته‌اند [۵] تا [۸]. عملکرد اساسی RIS‌ها در تغییر جهت امواج الکترومغناطیسی برخوردکننده به سطح به صورتی کنترل شده در جهات مشخص است. انجام این تغییر جهت امواج، معمولاً با اعمال یک گرadiان فاز بهخصوص بر روی صفحه فراسطح انجام می‌شود [۹] تا [۱۳]. با این حال، رویکردهای طراحی متداول فراسطوح مبتنی بر قوانین انکسار و انعکاس تعیین‌یافته (گرادیان فاز)، به طور کلی راندمان محدودی دارند؛ زیرا همیشه باعث ایجاد بازتاب‌های ناخواسته در جهت‌های نامطلوب می‌شوند [۱۴]. به‌ویژه این کاهش در راندمان، بیشتر زمانی اتفاق می‌افتد که زاویه موج صفحه‌ای بازتاب شده بسیار متفاوت از آنچه توسط قوانین بازتاب معمولی مشخص می‌شود؛ به گونه‌ای که هرچه زاویه انحراف موج منعکس شده نسبت به موج برخوردی به سطح آتن بیشتر باشد، راندمان آن بیشتر کاهش می‌یابد [۱۵]. اگرچه این مشکل در کاربردهای معمولی مانند آتن‌های آرایه انعکاسی ممکن است نادیده گرفته شود، اما در کاربردهایی چون سطوح هوشمند قابل تنظیم، منجر به ایجاد تداخل زیادی در سیستم‌های مخابراتی بی‌سیم خواهد شد [۱۶].

علاوه بر این، نتایج محاسباتی در [۱۷]، حضور امواج با مرتبه بالاتر (یا گلبرگ‌های فرعی در نظریه آتن) که از ساختارهای RIS منعکس می‌شوند، در جهت‌های ناخواسته را نشان می‌دهد. همچنین در مطالعات [۱۸] و [۱۹] اثبات شده که طبق قضیه فلوکه<sup>۱</sup>، اگر یک موج مسطح به هر RIS تناوبی برخورد کند، ممکن است این موج به صورت چندین موج الکترومغناطیسی در جهت‌های مختلف باشد که از این‌جا بازتاب متفاوت

چکیده: یکی از مهم‌ترین ویژگی‌های فراسطوح، توانایی آنها در کنترل امواج منعکس شده از آنهاست؛ اما فراسطوح منعکس‌کننده بر پایه روش ساده گرادیان فاز با راندمان کمی همراه هستند، به طوری که بازتاب‌های ناخواسته‌ای در جهات غیرمطلوب به وجود می‌آید. یک تحقیق نظری نشان می‌دهد که یک فراسطح با قابلیت قطبندگی می‌تواند موج را بدون حضور امواج ناخواسته منعکس نماید. برای تبدیل این نظریه به مدل حقیقی، نیاز به تبدیل فراسطح به مدل ریاضی است. در اینجا، این نظریه برای اولین بار با استفاده از یک روش سنتز که اساساً بر مبنای محیط است، به یک مدل ریاضی تبدیل می‌شود. ما تانسورهای حساسیت الکتریکی و مغناطیسی فراسطوح را به صورت معادلات ریاضی فرم بسته به دست می‌آوریم و در نتیجه خواهیم دید که این تانسورها نماینده مدل ریاضی سطحی با ویژگی‌های بدون تلف، غیرفعال، هم‌پاسخ و تکناف‌هایانگرد هستند. از آنجا که این مدل اطلاعات کامل‌تری نسبت به سایر روش‌ها ارائه می‌دهد، تبدیل این مدل ریاضی به یک مدل واقعی به شکلی دقیق‌تر انجام خواهد شد. به منظور اثبات صحت فرمول‌های بدست‌آمده برای این مدل فراسطوح، شبیه‌سازی تمام موج آن با استفاده از نرم‌افزار کامسول انجام شده است. دیده می‌شود که این نتایج در مرحله اول تحقق فراسطوح ایده‌آل که از نوع انعکاسی هستند، بسیار مفید می‌باشند.

**کلیدواژه:** انعکاس ایده‌آل، فراسطوح، ساختارهای متناظر، قانون اسنل تعیین‌یافته، سطوح هوشمند قابل تنظیم (RIS)، شرایط انتقال صفحه‌ای تعیین‌یافته (GSTCs).

## ۱- مقدمه

نسل‌های آینده شبکه‌های مخابراتی بی‌سیم باید هوشمند و کارآمد باشند تا بتوانند به بهترین نحو ممکن نیازهای روزافزون در برقراری ارتباطات را پاسخ دهند. شبکه تلفن همراه کنونی که به طور سنتی توسعه ایستگاه پایه<sup>۲</sup> کنترل می‌شود، با چالش‌های زیادی روبرو است؛ زیرا باید اطمینان حاصل کند که در محیط‌های انتشاری نامطلوب نیز بتواند ارتباط پایداری فراهم کند. با وجود این، موانع بزرگی از قبیل ساختمنها، درختان و نیز مشکلاتی از جمله مشکل چندمسیره<sup>۳</sup> می‌توانند کیفیت سیگنال دریافتی را در مکان‌های خاص به شدت کاهش دهند. به همین دلیل،

این مقاله در تاریخ ۱۹ دی ماه ۱۴۰۲ دریافت و در تاریخ ۳۱ شهریور ماه ۱۴۰۳ بازنگری شد.

الهام مرادی، دانشکده مهندسی برق دانشگاه یزد، یزد، ایران، (email: e.moradi999@gmail.com)

مسعود موحدی (نویسنده مسئول)، دانشکده مهندسی برق دانشگاه یزد، یزد، ایران، (email: movahhedi@yazd.ac.ir)

1. Base Station

2. Multipath

3. Reconfigurable Intelligence Surfaces

4. Intelligent Reflecting Surfaces

5. Floquet's Theorem

طوری که این میدان‌ها حفظ بقای توان محلی روی سطح را تسهیل نمایند و تداخلی در عملکرد میدان‌های راه دور فراسطح ایجاد نکنند [۲۲].

<sup>۳</sup> فراسطحی که کاملاً غیرتلافتی و غیرفعال باشد؛ در حالی که سطح قطبش موج را تغییر می‌دهد [۱۴].

فراسطح با ویژگی اول، تنها از لحاظ نظری دارای عملکرد ایده‌آل می‌باشد؛ اما تحقق عملی این سطح یا بسیار پیچیده بوده و یا غیرممکن است. طراحی فراسطح با ویژگی دوم، اصولاً بر پایه مدل‌های مداری انجام می‌شود و نهایتاً عبارات تحلیلی برای ادمیتانس سطح به دست می‌آید؛ علاوه بر این که در اکثر این روش‌ها، بهینه‌سازی دامنه و فاز امواج سطحی محوشونده برای تضمین عدم غیرفعال بودن سطح مورد نیاز، ضروری است که این موضوع خود، فرایند طراحی را بسیار پیچیده می‌نماید. در [۱۴] نظریه‌ای مطرح شده (ویژگی سوم) و برای تبدیل این نظریه به یک مدل عملی، ابتدا لازم است که فراسطح را با استفاده از یکی از روش‌های سنتز به یک مدل ریاضی تبدیل نماییم.

به طور کلی، سنتز فراسطح‌های پیشرفته دارای دو مرحله اصلی می‌باشد. مرحله اول شامل مهندسی کلی فراسطح است و به عبارت دیگر، این مرحله به طراحی ماکروسکوپی فراسطح اختصاص دارد. در این مرحله، پارامترهای وابسته به مکان روی سطح بر حسب عملکرد خاصی که از فراسطح انتظار می‌رود، به صورت ریاضی بیان می‌شود [۶]. پارامترهای فراسطح معمولاً به صورت توابعی پیوسته و وابسته به مکان مدل‌سازی می‌شوند. این پارامترها می‌توانند شامل امپدانس سطح، حساسیت الکتریکی و مغناطیسی، قطبش‌پذیری و سایر ویژگی‌های مشابه باشند [۲۹] تا [۳۳]. مرحله دوم پس از تعیین توابع سطح، شامل یافتن روشی برای پیداهسازی سلول‌های واحد میکروسکوپی بر روی کل فراسطح است. ما در این مقاله برای طراحی فراسطح با ویژگی سوم یک مدل ریاضی با استفاده از رویکرد مبتنی بر محیط و همچنین مبتنی بر شرایط انتقال صفحه‌ای تعمیم‌یافته (GSTCs) به دست می‌آوریم [۳۳]. این روش نسبت به سایر روش‌های سنتز فراسطح، دقیق‌تر و نزدیک‌تر به مدل واقعی است. ابتدا سطح در این روش، بدون در نظر گرفتن محدودیت‌های ساختاری به صورت کلی مدل‌سازی می‌شود و پس از به دست آوردن مدل سطح می‌توان آن را با استفاده از روش‌های مختلف به پارامترهای پراکنده‌گی تبدیل کرده و در نهایت به مدل واقعی تبدیل نمود. از آنجا که مدل مبتنی بر GSTC اطلاعات کامل‌تری نسبت به سایر روش‌ها از سطح ارائه می‌دهد، لذا تبدیل کردن این سطح به یک مدل واقعی، راحت‌تر و با دقت بیشتر امکان‌پذیر خواهد بود [۳۳]. در این مقاله، تansورهای حساسیت الکتریکی و مغناطیسی فراسطح به صورت معادلات ریاضی به دست آورده شده و مشاهده می‌شود که این تانسورها مدل یک سطح بدون تلفات، غیرفعال، همپاسخ و تکناهمسان‌گرد<sup>۴</sup> را نمایان می‌سازند.

مرجع [۳۴] چارچوبی برای طراحی فراسطح‌ها با استفاده از نظریه مایکروویو کلاسیک ارائه می‌دهد که شامل تبدیل عملکرد مدار به المان‌های فشرده و سپس به سلول‌های واحد است. در مقابل، روش پیشنهادی در این مقاله به طور مستقیم عملکرد سطح را به پارامترهای سطحی تبدیل می‌کند و از نظریه‌های کلاسیک مایکروویو استفاده نمی‌کند که باعث افزایش دقت طراحی در مقایسه با روش [۳۴] می‌شود. همچنین روش پیشنهادی در این مقاله برای طراحی فراسطح‌هایی با ویژگی‌های خاص مانند حذف امواج ناخواسته مناسب‌تر است. مرجع [۳۵]

منعکس شود. بنابراین قبل از این که فراسطوح، هوشمند شوند نیاز است که ایرادات آنها برطرف شود تا بتوانند در سیستم‌های ارتاطی بی‌سیم با موقوفیت عمل کنند. به همین دلیل به صورت نظری، اخیراً فراسطوح پیشرفته‌ای برای کنترل انعکاس بدون ایجاد پراکنده‌گی‌های نامطلوب ارائه شده‌اند [۱۴].

همان طور که قبلاً ذکر شد، اگرچه فراسطوح با گرادیان فاز خطی و ضریب بازتاب واحد (روش قانون اسنل تعمیم‌یافته) دارای راندمان پایینی هستند، اما این مزیت را دارند که امپدانس سطحی کل ساختار موهومی محض است؛ به این معنا که ساختار، غیرفعال<sup>۱</sup> می‌باشد [۲۰]. از سوی دیگر در روش طراحی به کمک امپدانس سطحی، در برخی از مقالات دیده می‌شود که موج منعکس شده به صورت یک موج صفحه‌ای خالص در نظر گرفته می‌شود و سپس امپدانس سطحی آن با این فرض سنتز می‌شود. اما از آنجا که امپدانس سطح محاسبه شده با این رویکرد، فعال یا تلفاتی<sup>۲</sup> است، این ساختار از نظر تحقیق و ساخت نه مطلوب است و نه حتی امکان‌پذیر می‌باشد [۲۱]. لذا با توجه به این موضوع، پژوهشگران به دنبال راه حل‌های جدیدی برای طراحی سطوح انعکاسی هستند؛ به گونه‌ای که سطح طراحی شده غیرفعال و بدون تلفات باشد، در حالی که موج ارسالی را به صورت کامل و بدون ایجاد انعکاس‌های ناخواسته منعکس نماید. یکی از رویکردهای مهم در طراحی سطوح انعکاسی برای افزایش بهره‌وری، این است که علاوه بر در نظر گرفتن انتشار موج‌های منعکس شده، فرض کنیم یک مجموعه از موج‌های محوشونده سطحی<sup>۳</sup> نیز بر روی سطح ایجاد می‌شوند. به این ترتیب، موج منعکس شده به عنوان یک ترکیب از یک موج صفحه‌ای خالص در چهت مورد نظر و موج‌های محوشونده سطحی چندگانه در سطح مدنظر شکل می‌گیرد. این موج‌های محوشونده عملاً به عنوان میدان‌های کمکی معرفی می‌شوند؛ زیرا حفظ بقای توان محلی مورد نیاز روی سطح به کمک آنها ایجاد می‌شود. به علت اینکه این میدان‌ها در ناحیه راه دور<sup>۴</sup> منتشر نمی‌شوند، در عملکرد سطح و میدان‌های راه دور تداخل ایجاد نمی‌کنند [۲۲] تا [۲۵] و [۶]. یک روش دیگر به نام متاگریتینگ<sup>۵</sup> نیز وجود دارد که به عنوان یک روش طراحی فراسطح با توانایی انعکاس کامل معرفی شده است. در این روش، تنهای یک یا دو پارامتر در هر دوره تناوب برای کنترل بهینه انعکاس موج مورد استفاده قرار می‌گیرد [۲۶] تا [۲۸].

از آنجا که تداخل میان میدان‌های برخورده با سطح و میدان‌های منعکس شده از آن، یکی از علل ایجاد امواج ناخواسته است، در [۱۴] پیشنهاد شده که اگر امواج انعکاسی با قطبش متعدد نسبت به امواج برخورده با سطح، منعکس شوند، این سطح قادر است موج برخورده به سطح را در چهات مورد نظر به صورت کامل و بدون ایجاد انعکاس‌های ناخواسته منعکس نماید. اما برای تبدیل این نظریه به یک مدل ریاضی و نهایتاً به یک مدل حقیقی، باید اقدامات اولیه‌ای انجام گیرد. بنابراین می‌توان بیان داشت که اگر فراسطوح دارای یکی از ویژگی‌های زیر باشد، امکان داشتن انعکاس کامل بدون ایجاد امواج ناخواسته فراهم است:

(۱) فراسطوح که تلفاتی یا فعال باشد و لذا لازم نیست که پلاریزاسیون موج را تغییر دهد [۱۴].

(۲) فراسطوح که میدان‌های سطحی محوشونده کمکی تولید کند، به

1. Passive
2. Active or Lossy
3. Evanescent Fields
4. Far Field
5. Metagrating

همچنین فراسطح قطبنده انعکاسی ایده‌آل ارائه می‌شوند و نتایج تمام موج دو مدل با هم مقایسه می‌گردد.

## ۲- یادآوری معادلات سنتز فراسطح

میدان الکتریکی، میدان مغناطیسی و چگالی پلازماسیون یک فراسطح محصور شده توسط دو محیط یکسان و عمود بر جهت  $x$  در یک سیستم مختصات دکارتی (شکل ۱) به صورت زیر به هم مرتبط می‌شوند [۳۳]

$$\hat{x} \times \Delta \vec{H} = j\omega \vec{P}_{\parallel} - \hat{x} \times \nabla_{\parallel} M_x \quad (1-\text{الف})$$

$$\Delta \vec{E} \times \hat{x} = j\omega \mu \vec{M}_{\parallel} - \nabla_{\parallel} \left( \frac{P_x}{\epsilon} \right) \times \hat{x} \quad (1-\text{ب})$$

$$\hat{x} \cdot \Delta \vec{D} = -\nabla \cdot \vec{P}_{\parallel} \quad (1-\text{ج})$$

$$\hat{x} \cdot \Delta \vec{B} = -\mu \nabla \cdot \vec{M}_{\parallel} \quad (1-\text{د})$$

که در آن  $\vec{M} = \chi_{ee} \vec{E}_{av} + \chi_{em} \sqrt{\epsilon \mu} \vec{H}_{av}$  چگالی قطبش مغناطیسی،  $\vec{P} = \epsilon \chi_{ee} \vec{E}_{av} + \chi_{em} \sqrt{\epsilon \mu} \vec{H}_{av}$  چگالی قطبش الکتریکی و  $\chi_{ee} = \chi_{mm} = \chi_{em} = \chi_{yy} = \chi_{zz}$  تansورهای حساسیت الکتریکی و مغناطیسی هستند و همچنین  $av$  بیان کننده میانگین میدان‌های دو طرف  $inc$  به ترتیب نشان‌دهنده امواج منتقل شده، منعکس شده و ارسال شده هستند. چگالی‌های قطبش الکتریکی و مغناطیسی به صورت زیر تعریف می‌شوند [۳۳]

$$\vec{P} = \epsilon \chi_{ee} \vec{E}_{av} + \chi_{em} \sqrt{\epsilon \mu} \vec{H}_{av} \quad (2-\text{الف})$$

$$\vec{M} = \chi_{mm} \vec{H}_{av} + \chi_{me} \sqrt{\frac{\epsilon}{\mu}} \vec{E}_{av} \quad (2-\text{ب})$$

که در آن  $\chi_{ee} = \chi_{mm} = \chi_{em} = \chi_{yy} = \chi_{zz}$  تansورهای حساسیت الکتریکی و مغناطیسی هستند و همچنین  $av$  بیان کننده میانگین میدان‌های دو طرف فراسطح است  $/2$  در [۳۴] که در  $P_x = M_x = 0$  بدون از دست دادن کلیت مسئله، فرض می‌شود. این صورت با جایگزین کردن (۲-الف) و (۲-ب) در (۱-الف) و (۱-ب) به ترتیب، سیستم معادلات خطی ساده زیر حاصل می‌شود [۳۳]

$$\begin{pmatrix} -\Delta H_z \\ \Delta H_y \end{pmatrix} = j\omega \epsilon \begin{pmatrix} \chi_{ee}^{yy} & \chi_{ee}^{yz} \\ \chi_{ee}^{zy} & \chi_{ee}^{zz} \end{pmatrix} \begin{pmatrix} E_{y,av} \\ E_{z,av} \end{pmatrix} + j\omega \sqrt{\epsilon \mu} \begin{pmatrix} \chi_{em}^{yy} & \chi_{em}^{yz} \\ \chi_{em}^{zy} & \chi_{em}^{zz} \end{pmatrix} \begin{pmatrix} H_{y,av} \\ H_{z,av} \end{pmatrix} \quad (3-\text{الف})$$

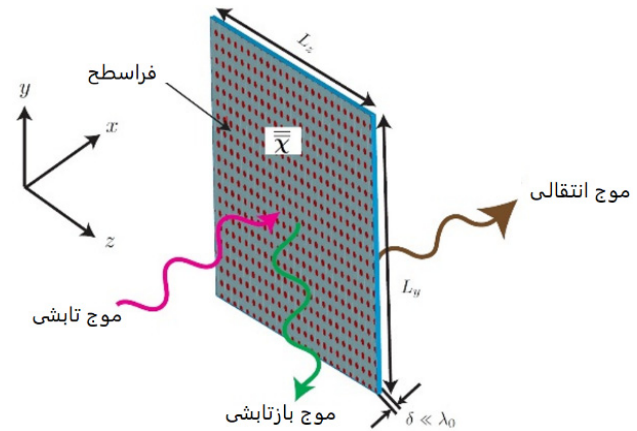
$$\begin{pmatrix} -\Delta E_y \\ \Delta E_z \end{pmatrix} = j\omega \mu \begin{pmatrix} \chi_{mm}^{zz} & \chi_{mm}^{zy} \\ \chi_{mm}^{yz} & \chi_{mm}^{yy} \end{pmatrix} \begin{pmatrix} H_{z,av} \\ H_{y,av} \end{pmatrix} + j\omega \sqrt{\epsilon \mu} \begin{pmatrix} \chi_{me}^{zz} & \chi_{me}^{zy} \\ \chi_{me}^{yz} & \chi_{me}^{yy} \end{pmatrix} \begin{pmatrix} E_{z,av} \\ E_{y,av} \end{pmatrix} \quad (3-\text{ب})$$

این یک مسئله معکوس است و با حل آن، پارامترهای حساسیت الکتریکی و مغناطیسی فراسطح به دست می‌آیند.

## ۳- پارامترهای حساسیت سطحی الکتریکی و مغناطیسی یافته یک فراسطح مبتنی بر قانون اسنل تعمیم‌یافته

### ۱-۳ توزیع میدان‌ها

هنده مسئله در شکل ۲ نشان داده شده است. هدف از طراحی فراسطح، بازتاب کردن یک موج صفحه‌ای تابشی است که از یک راستای معین ( $\theta_i$ ) به سطح برخورد می‌کند و انتظار می‌رود فراسطح موج را به



شکل ۱: مختصات دکارتی و ناپیوستگی صفحه. فراسطح به عنوان یک صفحه ناپیوسته با ضخامت صفر در نظر گرفته می‌شود؛ زیرا ضخامت فراسطح ( $\delta$ ) بسیار کمتر از طول موج در فرکанс کاری  $\lambda$  است [۳۳].

روش کارآمدی برای شبیه‌سازی فراسطح‌های با ضخامت زیر طول موج ارائه می‌دهد که شامل استفاده از شرایط مرزی با ضخامت صفر و ترکیب با روش المان طیفی است. این روش به کاهش تعداد عناصر و زمان شبیه‌سازی کمک می‌کند. در مقابل، مقاله حاضر بر روی طراحی فراسطح‌هایی تمرکز دارد که قادر به حذف امواج ناخواسته در حالت انعکاس هستند که پیچیدگی بیشتری نسبت به مدل‌های انتقال دارد. همچنین در حالی که [۳۵] بر کاهش زمان شبیه‌سازی و استفاده از حافظه کمتر تمرکز دارد، این مقاله به بررسی عملی بودن تحقق مدل‌های ریاضی و انعطاف‌پذیری طراحی برای زوایای ورود مختلف پرداخته است.

تا جایی که می‌دانیم برای یک فراسطح قطبنده که انعکاس کامل داشته باشد، مدل ریاضی مبتنی بر GSTCs ارائه نشده است. در [۳۶] پارامترهای سطحی حساسیت الکتریکی و مغناطیسی برای یک سطح به دست آمده است، اما آن سطح اولاً یک انتقال دهنده ایده‌آل است و ثانیاً در آنجا سطحی که به دست آمده، دوناهمسانگرد<sup>۱</sup> است؛ در حالی که ما در این مقاله پارامترهای حساسیت الکتریکی و مغناطیسی را برای سطح انعکاس‌دهنده با توجه به کاربرد مهم آنها در سیستم‌های مخابراتی هشتمند (RIS) به دست می‌آوریم. همچنین سطح به دست آمده در این مقاله تکناهمسانگرد است و پیچیدگی آن به مراتب کمتر از سطح دوناهمسانگرد می‌باشد.

به منظور بیان توانایی این مدل در حذف امواج ناخواسته و تأیید صحت آن، مدل پیشنهادی با فراسطح ساده گرادیان فاز مقایسه خواهد شد. برای ایجاد شرایط یکسان برای مقایسه دو مدل، ما همچنین سطح مبتنی بر قانون تعمیم‌یافته اسنل (مبتنی بر گرادیان فاز) را با استفاده از روش GSTC مدل سازی می‌کنیم. سپس این دو مدل حاصل را با استفاده از نرم‌افزار کامسول مورد مقایسه و ارزیابی قرار می‌دهیم. مرحله بعد از طراحی این سطح، تبدیل مدل ریاضی به مدل حقیقی سطح که همان سطح متشکل از سلول‌های واحد می‌باشد، است. با توجه به اینکه این مقاله از GSTC استفاده کرده است، تبدیل آن به مدل واقعی با روش دقیق «نگاشت پارامتر پراکندگی» انجام می‌گردد [۳۶]. این کار به عنوان یک برنامه آنی برای این پژوهش در نظر گرفته می‌شود.

در بخش دوم، معادلات سنتز GSTC فراسطح یادآوری می‌گردد. در بخش‌های سوم و چهارم، سنتز GSTC تansورهای حساسیت الکتریکی و مغناطیسی سطحی فراسطح‌های مبتنی بر قانون اسنل تعمیم‌یافته و

1. Bianisotropic

هستند، امکان‌پذیر است. اما از آنجا که دامنه موج منعکس شده برابر با دامنه موج فروآمدۀ به سطح در نظر گرفته شده است ( $E_i = E_r$ )، راندمان این ساختار ۱۰۰٪ نیست؛ زیرا راندمان سطح که به صورت نسبت توان موج صفحه‌ای منعکس شده  $P_r = |E_r|^2 \cos \theta_r / 2\eta$  به توان موج صفحه‌ای فروآمدۀ به سطح  $P_i = |E_i|^2 \cos \theta_i / 2\eta$  در راستای مورد نظر تعریف می‌شود. این بدان معناست که وقتی یک فراسطح انعکاسی را که توسط قانون اسنل تعمیم‌یافته طراحی شده است، در معرض یک موج مسطح با زاویه ورود  $\theta_i$  قرار دهیم، علاوه بر موج صفحه‌ای منعکس شده در راستای  $\theta_r$ ، امواج دیگری نیز در سیستم تحریک می‌شوند تا بقای توان را برآورده سازند. به عبارت دیگر، این شرایط مرزی به بازتاب‌های ناخواسته در جهت‌های نامطلوب منجر می‌گردند. در بخش بعدی این پدیده را با شبیه‌سازی مدل ماکروسکوپی فراسطحی که بر اساس پارامترهای حساسیت الکتریکی و مقناتیسی سطحی طراحی شده است، در نرم‌افزار COMSOL نشان خواهیم داد.

### ۲-۳ استخراج حساسیت‌های الکتریکی و مقناتیسی سطحی

ما در اینجا متداول‌ترین نوع سنتز فراسطح را برای این ساختار در نظر می‌گیریم. خواهیم دید که اعمال این روش سنتز، یک فراسطح تک‌ناهمسانگرد را سنتز می‌کند که فقط مؤلفه‌های قطری تانسورهای حساسیت آن غیرصفر می‌باشد [۳۳].

همان طور که در شکل ۲ نشان داده شده است، فرض می‌کنیم انتشار در جهت  $x$  رخ می‌دهد و  $E_z$  و  $H_y$  تنها عناصر غیرصفر میدان هستند.

$$\Delta H_y = j\omega\epsilon_0\chi_{ee}^{zz}E_{z,av} \quad (4-\text{الف})$$

$$\Delta E_z = j\omega\mu_0\chi_{mm}^{yy}H_{y,av} \quad (4-\text{ب})$$

۶

$$\Delta H_y = -(\vec{H}_y^i + \vec{H}_y^r) = -\left(-\frac{1}{\eta}E^i \cos \theta_i + \frac{1}{\eta}E^i \cos \theta_i e^{j\varphi}\right) \quad (5-\text{الف})$$

$$\Delta E_z = -(\vec{E}_z^i + \vec{E}_z^r) = -(E^i + E^i e^{j\varphi}) \quad (5-\text{ب})$$

$$H_{y,av} = \frac{1}{\gamma}(\vec{H}_y^i + \vec{H}_y^r) = \frac{1}{\gamma}\left(-\frac{1}{\eta}E^i \cos \theta_i + \frac{1}{\eta}E^i \cos \theta_i e^{j\varphi}\right) \quad (5-\text{ج})$$

$$E_{z,av} = \frac{1}{\gamma}(\vec{E}_z^i + \vec{E}_z^r) = \frac{1}{\gamma}(E^i + E^i e^{j\varphi}) \quad (5-\text{د})$$

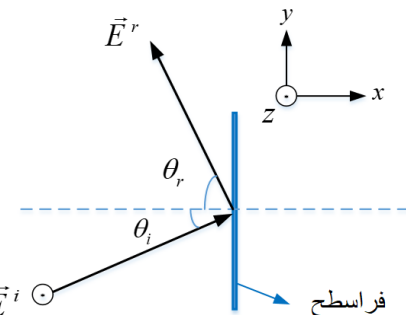
با واردکردن (۵) در (۸) و (۹)، توابع حساسیت مختلط متناوب (۱۰) حاصل می‌شود

$$\chi_{ee}^{zz} = \frac{j\gamma \cos \theta_i}{k} \times t \quad (10-\text{الف})$$

$$\chi_{mm}^{yy} = \frac{j\gamma}{k \cos \theta_i} \times \frac{1}{t} \quad (10-\text{ب})$$

که در آن

$$t = \frac{e^{-jk\sin \theta_r} - e^{-jk\sin \theta_i}}{e^{-jk\sin \theta_r} + e^{-jk\sin \theta_i}} \quad (11)$$



شکل ۲: نمایشی از عملکرد یک فراسطح منعکس‌کننده ایده‌آل. فرض می‌شود میدان‌ها دارای قطبش S هستند و صفحه فراسطح در صفحه yz قرار دارد.

صورت ایده‌آل و بدون ایجاد امواج ناخواسته در یک راستای متفاوت و دلخواه ( $\theta_r$ ) منعکس نماید. در اینجا حالتی را در نظر می‌گیریم که قطبش موج بازتابشده با موج فروآمدۀ به سطح یکسان باشد. در حالت قطبش S، میدان‌های مربوط به این سناریو که در شکل ۲ نشان داده شده‌اند، عبارتند از

$$\vec{E}^i = \hat{z}E^i e^{-jk(y \sin \theta_i + x \cos \theta_i)} \quad (4-\text{الف})$$

$$\vec{E}^r = \hat{z}E^r e^{-jk(y \sin \theta_r - x \cos \theta_r)} \quad (4-\text{ب})$$

از این رو در این سناریو، توزیع میدان‌های مورد نظر بر روی فراسطح (x = ۰) عبارتند از

$$\vec{E}^i = \hat{z}E^i \quad (5-\text{الف})$$

$$\vec{H}^i = \frac{1}{\eta}[E^i \sin \theta_i \hat{x} - E^i \cos \theta_i \hat{y}] \quad (5-\text{الف})$$

$$\vec{E}^r = \hat{z}E^r e^{j\varphi} \quad (5-\text{ب})$$

$$\vec{H}^r = \frac{1}{\eta}[E^i \sin \theta_r e^{j\varphi} \hat{x} + E^i \cos \theta_r e^{j\varphi} \hat{y}] \quad (5-\text{ب})$$

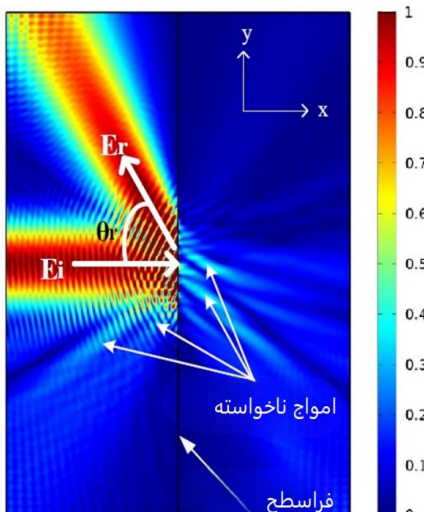
که در آن  $k = 2\pi/\lambda$  = طول موج فضای آزاد عدد موج فضای آزاد را نشان می‌دهد،  $\eta \approx 377\Omega$  امپدانس ذاتی فضای آزاد است و  $\varphi = ky \sin \theta_i - ky \sin \theta_r$

این توزیع میدان‌ها (۵) با معادلات قانون اسنل تعمیم‌یافته مطابقت دارند؛ زیرا در هر نقطه از سطح اندازه دامنه ضریب بازتاب برابر است با یک و فاز آن به صورت خطی مطابق با (۶) تغییر می‌کند.

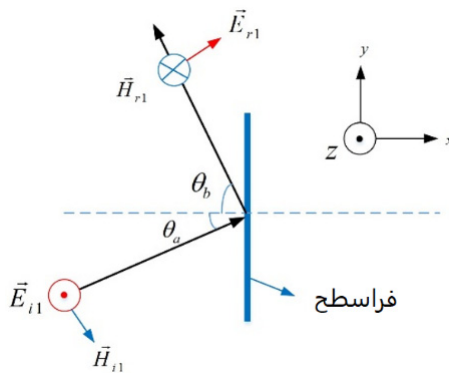
علاوه بر این، امپدانس سطحی شناخته شده مربوط به قانون اسنل تعمیم‌یافته ( $Z_s(y) = j\eta \cot[\varphi_r(y)/2]/\cos \theta_i$ ) که در مقالاتی متعدد مثل [۳۷] تا [۴۰] مورد استفاده قرار گرفته است را نیز می‌توان با این توزیع میدان‌ها به دست آورد. از سوی دیگر همان طور که در [۱۴] نشان داده شده است، برای برقراری شرط بقای توان، مؤلفه عمودی بردار Poynting در سطح بازتابنده باید در رابطه زیر صدق کند

$$P_n = \frac{1}{2} \operatorname{Re}(E_t \times H_t^*) \quad (7)$$

که در آن  $E_t$  و  $H_t$  میدان‌های مماسی بر روی سطح فراسطح هستند و با جایگزین کردن توزیع میدان‌های (۵) در (۷)، مؤلفه نرمال بردار Poynting در هر نقطه از صفحه فراسطح به طور یکسان برابر با صفر خواهد بود. بنابراین با توجه به صفر شدن بردار Poynting روی سطح، تحقق این فراسطح با عنصر ساده‌ای که بدون تلفات و یا بدون نیاز به تقویت کننده



شکل ۴: شبیه‌سازی تمام موج توسط COMSOL مربوط به میدان‌های تابشی و بازتابشی شکل ۳ (قدر مطلق میدان الکتریکی کل ( $V/m$ )).

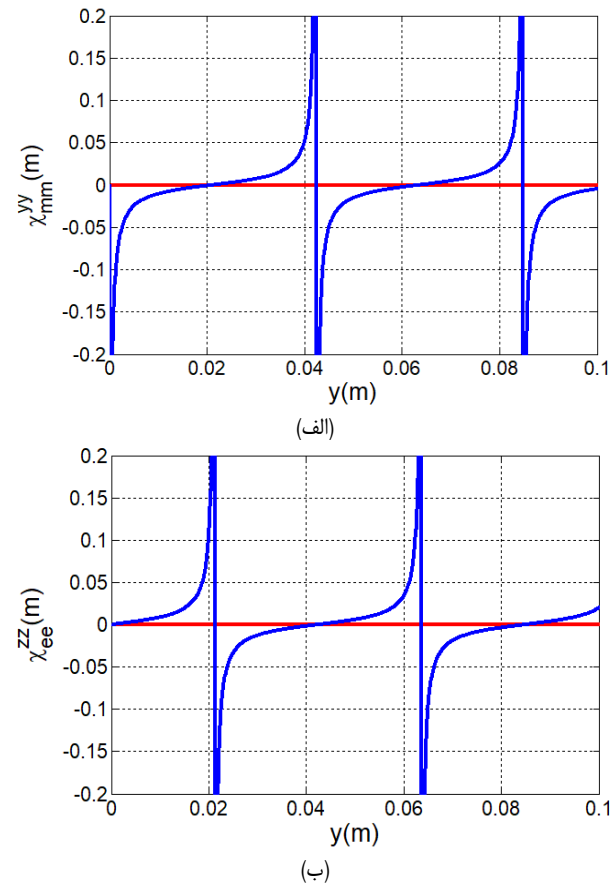


شکل ۵: تصویری از عملکرد یک فراسطح ایده‌آل که به طور کامل یک موج  $TE$  فروآمده به سطح را به یک موج منعکس شده  $TM$  تبدیل می‌کند.

#### ۴- پارامترهای حساسیت سطحی الکتریکی و مغناطیسی یک فراسطح قطبینده با انعکاس ایده‌آل

##### ۴-۱ توزیع میدان‌ها

همان طور که قبلاً ذکر شد اگر قطبیش موج منعکس شده نسبت به موج فروآمده به سطح، متعامد باشد، هیچ تداخلی بین موج تابشی و موج بازتابی وجود نخواهد داشت و بازتاب به صورت کامل (بدون ایجاد امواج ناخواسته) امکان‌پذیر است [۱۴]. اما برای تبدیل این نظریه به یک ساختار عملی، نیاز است که ابتدا مدل ریاضی چنین سطحی به دست آید. ما در این مقاله، یک مدل مبتنی بر حساسیت سطحی الکتریکی و مغناطیسی را توسعه داده‌یم. برای به دست آوردن مدل سطحی، ابتدا باید توزیع میدان‌هایی را که به سطح برخورد می‌کنند و سپس منعکس می‌شوند، مشخص نماییم. به عنوان یک مثال فرض می‌شود که موج تابشی از نوع الکتریکی عرضی ( $TE$ ) با دامنه  $E_r$  بوده که به موج بازتابشی  $E_i$  منتهی می‌شود؛ به طوری که قطبیش موج منعکس شده و موج تابشی امواج تابشی و بازتابشی، هیچ تداخلی بین امواج فروآمده و منعکس شده وجود نخواهد داشت. شکل ۵ پیکربندی این مسئله را نشان می‌دهد. بردار میدان‌های الکتریکی فروآمده به سطح و منعکس شده از آن به صورت زیر نوشته می‌شود



شکل ۳: حساسیت‌های الکتریکی و مغناطیسی فراسطح مبتنی با قانون اسنل در فرکانس ۱۰ گیگاهرتز با زاویه ورود  $\theta = 60^\circ$  درجه و زاویه انعکاس  $60^\circ$  درجه. منحنی آبی مربوط به قسمت‌های حقیقی و منحنی قرمز مربوط به قسمت‌های موهومی است.

شکل ۳ نمودار این توابع متناوب را نسبت به مکان نشان می‌دهد. همان‌گونه که ملاحظه می‌گردد، بخش‌های موهومی  $\chi_{mm}^{yy}$  و  $\chi_{ee}^{zz}$  برابر با  $\chi_{mm}^{yy} = \chi_{ee}^{zz} = T$  صفر هستند که از نظر تانسوری مطابق با  $\chi_{mm} = \chi_{ee} = \chi$  می‌باشند. در این روابط بالانویس‌های  $T$  و  $*$  به ترتیب بیانگر عملیات تراشه‌دهد و مزدوج هستند. این روابط نشان می‌دهند که سطح به طور کامل غیرفعال می‌باشد و هیچ گونه تلفات یا تقویت توانی در آن رخ نمی‌دهد. با این حال همان طور که پیشتر نیز اشاره شد، اگرچه سطح به طور کامل غیرفعال است، اما راندمان آن  $100$  درصد نیست. به عبارت دیگر، این نشان‌دهنده وجود امواج ناخواسته‌ای می‌باشد که از فراسطح منعکس می‌شوند.

در این قسمت به منظور واضح‌نمایی از حضور امواج ناخواسته از فراسطح مبتنی بر قانون اسنل تعیین یافته، ابتدا یک مدل ریاضی برای سطح به دست می‌آوریم که بر اساس حساسیت‌های الکتریکی و مغناطیسی سطح تعریف شده است. این سطح به گونه‌ای در نظر گرفته می‌شود که یک موج صفحه‌ای با فرکانس  $10$  گیگاهرتز به صورت عمود به آن برخورد می‌کند و پس از آن با زاویه  $60^\circ$  درجه از سطح منعکس می‌شود. سپس این مدل با استفاده از نرم‌افزار COMSOL با فرض این که ضخامت سطح برابر با  $d = \lambda/100$  است، شبیه‌سازی گردیده و نتایج آن در شکل ۴ نمایش داده شده است. با توجه به نتایج این شبیه‌سازی به‌وضوح ملاحظه می‌گردد که بخشی از موج که به سطح وارد می‌شود، به صورت امواج ناخواسته توسط فراسطح منعکس می‌شود. این پدیده باعث کاهش راندمان سطح شده و منجر به ایجاد تداخل در سیستم‌های مخابراتی می‌گردد.

ما قادریم هر نوع عملکرد دیگری را نیز برای این سیستم تعریف کنیم؛ از جمله بازتاب در جهات مختلف یا حتی عمل جذب. با این حال از آنجا که ما در درجه اول علاقه‌مند به تحقق یک فراسطح همپاسخ هستیم، این عملکرد جدید را مشابه انعکاس موج در جهت معکوس آن تعیین می‌کنیم. این کار به افزودن دو معادله دیگر منجر می‌شود که سیستم ما را به یک ماتریس با رتبه کامل از مرتبه ۸ تبدیل می‌کند. این عملکرد معکوس که در شکل ۶ نمایش داده شده است، شامل همان زوایای مرتبه با شکل ۵ است؛ با این تفاوت که میدان‌ها در جهت معکوس آن اعمال می‌شوند. بنابراین میدان‌های الکتریکی و مغناطیسی مرتبط با این تبدیل معکوس به صورت زیر نمایش داده می‌شوند

$$\vec{E}_{i\gamma} = -\hat{z} e^{-j(-ky \sin \theta_a - kx \cos \theta_a)} \quad (۱۵\text{-الف})$$

$$\vec{H}_{i\gamma} = \frac{1}{\eta} [-\cos \theta_a \hat{y} + \sin \theta_a \hat{x}] e^{-j(-ky \sin \theta_a - kx \cos \theta_a)} \quad (۱۵\text{-ب})$$

$$\vec{E}_{r\gamma} = -\Gamma [\cos \theta_b \hat{y} + \sin \theta_b \hat{x}] e^{-j(-ky \sin \theta_b + kx \cos \theta_b)} \quad (۱۵\text{-ج})$$

$$\vec{H}_{r\gamma} = -\frac{\Gamma}{\eta} \hat{z} e^{-j(-ky \sin \theta_b + kx \cos \theta_b)} \quad (۱۵\text{-د})$$

بنابراین معادلات ستتر برای این سطح، از جمله تبدیل مستقیم همپاسخ (زیرنویس «۱») و تبدیل معکوس (زیرنویس «۲») می‌توانند به صورت فشرده به شکل زیر نوشته شوند

$$\begin{pmatrix} -\Delta H_{z\gamma} & -\Delta H_{z\gamma} \\ \Delta H_{y\gamma} & \Delta H_{y\gamma} \end{pmatrix} = j\omega \mathcal{E}_o \begin{pmatrix} \chi_{ee}^{yy} & \chi_{ee}^{yz} \\ \chi_{ee}^{zy} & \chi_{ee}^{zz} \end{pmatrix} \begin{pmatrix} E_{y\gamma,av} & E_{y\gamma,av} \\ E_{z\gamma,av} & E_{z\gamma,av} \end{pmatrix} \quad (۱۶\text{-الف})$$

$$\begin{pmatrix} -\Delta E_{y\gamma} & -\Delta E_{y\gamma} \\ \Delta E_{z\gamma} & \Delta E_{z\gamma} \end{pmatrix} = j\omega \mu_o \begin{pmatrix} \chi_{mm}^{zz} & \chi_{mm}^{zy} \\ \chi_{mm}^{yz} & \chi_{mm}^{yy} \end{pmatrix} \begin{pmatrix} H_{z\gamma,av} & H_{z\gamma,av} \\ H_{y\gamma,av} & H_{y\gamma,av} \end{pmatrix} \quad (۱۶\text{-ب})$$

که در آن ستون‌های اول و دوم با تبدیل مستقیم و معکوس مطابقت دارند. با توجه به (۱۲) داریم

$$\Delta H_{y\gamma} = -(H_{iy\gamma}) = \frac{\cos \theta_a}{\eta} e^{-jky \sin \theta_a} \quad (۱۷\text{-الف})$$

$$H_{y\gamma,av} = \frac{1}{\gamma} (H_{iy\gamma}) = -\frac{\cos \theta_a}{2\eta} e^{-jky \sin \theta_a}$$

$$\Delta H_{z\gamma} = -(H_{rz\gamma}) = \frac{\Gamma}{\eta} \hat{z} e^{-jky \sin \theta_b} \quad (۱۷\text{-ب})$$

$$H_{z\gamma,av} = \frac{1}{\gamma} (H_{rz\gamma}) = -\frac{\Gamma}{2\eta} \hat{z} e^{-jky \sin \theta_b}$$

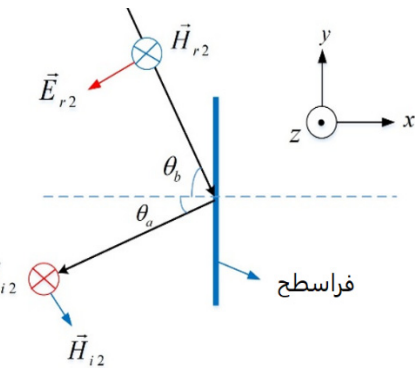
$$\Delta E_{y\gamma} = -(E_{ry\gamma}) = -\Gamma \cos \theta_b e^{-jky \sin \theta_b} \quad (۱۷\text{-ج})$$

$$E_{y\gamma,av} = \frac{1}{\gamma} (E_{ry\gamma}) = \frac{\Gamma}{\gamma} \cos \theta_b e^{-jky \sin \theta_b}$$

$$\Delta E_{z\gamma} = -(E_{iz\gamma}) = -e^{-jky \sin \theta_a} \quad (۱۷\text{-د})$$

$$E_{z\gamma,av} = \frac{1}{\gamma} (E_{iz\gamma}) = \frac{1}{\gamma} e^{-jky \sin \theta_a}$$

همچنین با توجه به (۱۵) داریم



شکل ۶: عملکرد معکوس و همپاسخ متناسب با شکل ۵

$$\vec{E}_{i\gamma} = \hat{z} e^{-j(ky \sin \theta_a + kx \cos \theta_a)} \quad (۱۲\text{-الف})$$

$$\vec{H}_{i\gamma} = \frac{1}{\eta} [-\cos \theta_a \hat{y} + \sin \theta_a \hat{x}] e^{-j(ky \sin \theta_a + kx \cos \theta_a)} \quad (۱۲\text{-ب})$$

$$\vec{E}_{r\gamma} = \Gamma [\cos \theta_b \hat{y} + \sin \theta_b \hat{x}] e^{-j(ky \sin \theta_b - kx \cos \theta_b)} \quad (۱۲\text{-ج})$$

$$\vec{H}_{r\gamma} = -\frac{\Gamma}{\eta} \hat{z} e^{-j(ky \sin \theta_b - kx \cos \theta_b)} \quad (۱۲\text{-د})$$

که در آن زیرنویس «۱» برای راحتی در استفاده از فرمول‌های بعدی معرفی شده و تنها مجھول در این روابط ضریب بازتاب ( $\Gamma$ ) است. این ضریب با اعمال قانون بقای توان در سراسر سطح فراسطح، یعنی (۱۳) به دست می‌آید

$$P_n = \frac{1}{2} \operatorname{Re}(E_t \times H_t^*) = . \quad (۱۳)$$

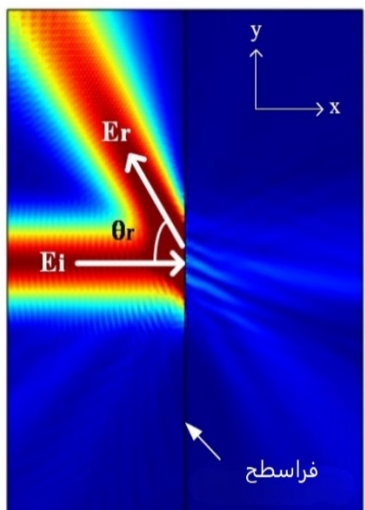
$E_t$  و  $H_t$  میدان‌های الکتریکی و مغناطیسی کل در محیط تابش هستند.  $\Gamma$  با جایگزین کردن (۱۲) در (۱۳) و با حل این معادله به صورت زیر حاصل می‌شود

$$\Gamma = \sqrt{\frac{\cos \theta_a}{\cos \theta_b}} \quad (۱۴)$$

این یک شرط اساسی برای انعکاس ایده‌آل است که با در نظر گرفتن برقراری قانون بقای توان به دست آمد.

## ۴-۲ استخراج حساسیت‌های الکتریکی و مغناطیسی سطحی

برای این ساختار، یک فراسطح تکناهمسانگرد ( $\chi_{em} = \chi_{me} = .$ ) را دوباره مورد بررسی قرار می‌دهیم؛ اما به علت تغییر قطبش موج، عناصر غیرقطری تانسور حساسیت نمی‌توانند صفر باشند. شرط تکناهمسانگرد بودن فراسطح باعث حذف ۸ ترم از (۱۶) عبارت در سیستم (۳) می‌شود، اما با وجود این، فقط ۴ معادله برای ۸ مجھول داریم و به این معناست که نمی‌توانیم دستگاه معادلات را مستقیماً حل کنیم. بنابراین می‌توانیم یک عملکرد دیگر را به سیستم اضافه کنیم تا نهایتاً تعداد معادلات و مجھولات سیستم با هم برابر شوند. این به معنای آن است که فراسطح می‌تواند به طور همزمان دو مجموعه از امواج ورودی را بازتاب دهد، به شرطی که این دو مجموعه از امواج مستقل از یکدیگر باشند. تعیین یک عملکرد اضافه می‌تواند به سیستم ۴ معادله دیگر اضافه کند و در نتیجه مجموعه معادلات تبدیل به یک سیستم با رتبه کامل<sup>۱</sup> می‌شود.



شکل ۸: قدر مطلق میدان الکتریکی کل ( $V/m$ ) شبیه‌سازی شده با COMSOL مربوط به انعکاس در فراسطح قطبینه شکل ۵.

$$\chi_{ee}^{yz} = \chi_{ee}^{zy} = \frac{-\gamma \Gamma}{k_0 \sin \alpha y} \quad (ج-۱۹)$$

$$\chi_{mm}^{yy} = \frac{\gamma \cot \alpha y}{k_0 \cos \theta_a} \quad (د-۱۹)$$

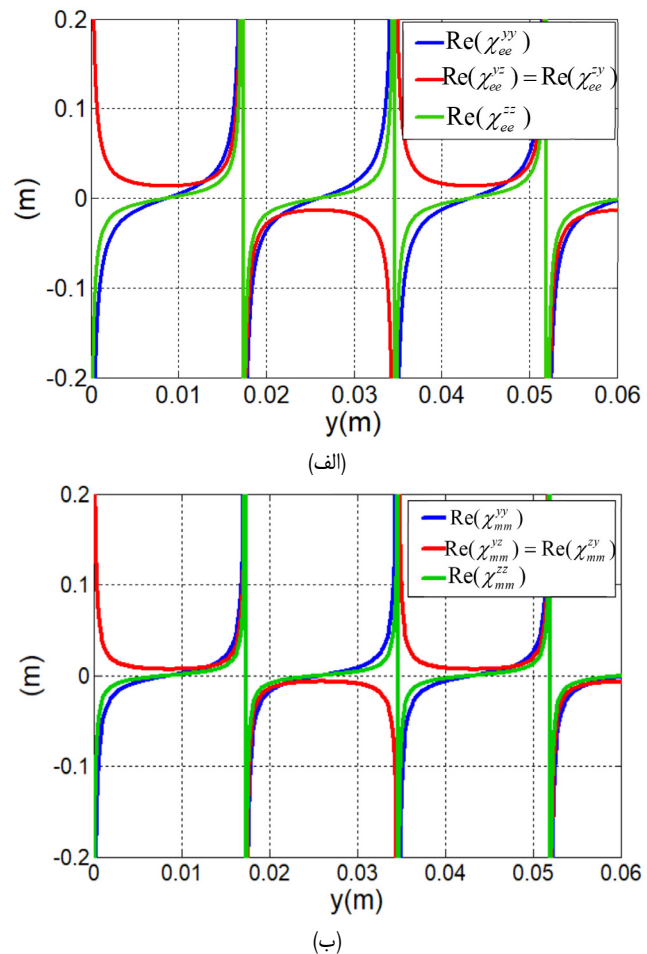
$$\chi_{mm}^{zz} = \frac{\gamma \cos \theta_b \cot \alpha y}{k_0} \quad (ه-۱۹)$$

$$\chi_{mm}^{zy} = \chi_{mm}^{yz} = \frac{-\gamma}{k_0 \Gamma \sin \alpha y} \quad (و-۱۹)$$

که در آن  $\alpha = k_0(\sin \theta_a - \sin \theta_b)$  است. این پارامترهای حساسیت الکتریکی و مغناطیسی برای  $\theta_a = 0^\circ$  و  $\theta_b = 60^\circ$  در شکل ۷ رسم شده‌اند. فراسطحی که با حساسیت‌های الکتریکی و مغناطیسی به دست‌آمده در (۱۹) مشخص می‌شود از نوع فراسطح تکنامه‌منگرد است. همچنین فراسطح طراحی‌شده هم‌پاسخ، بدون تلفات و غیرفعال است؛ زیرا  $\chi_{mm}^{zy} = \chi_{mm}^{yz}$  و  $\chi_{ee}^{yz} = \chi_{ee}^{zy}$  که از نظر تنسوری معادل با روابط  $\chi_{ee} = \chi_{ee}$  و  $\chi_{mm} = \chi_{mm}$  است.

فراسطح برای زوایای  $(\theta_r, \theta_i) = (60^\circ, 0^\circ)$  در فرکانس  $10 \text{ گیگاهرتز}$  طراحی شده است. با فرض ضخامت  $d = \lambda/100$ ، این ساختار با استفاده از نرم‌افزار COMSOL شبیه‌سازی شده و نتیجه آن در شکل ۸ نمایش داده شده است. با مقایسه شکل‌های ۸ و ۴ متوجه می‌شویم هنگامی که قطبش موج تغییر می‌کند، امواج ناخواسته‌ای که در فراسطح مبتنی بر قانون استنل تعمیم‌یافته حضور داشتند، در اینجا ایجاد نمی‌شوند. این به آن معناست که راندمان ساختار بالاتر است و می‌تواند گزینه مناسبی برای طراحی فراسطح، به ویژه سطوح هوشمند که نیاز به راندمان بالایی دارند، باشد.

همان‌طور که در آتن‌های آرایه انعکاسی نیز مشاهده می‌شود، اختلاف بین زاویه موج ورودی و زاویه موج بازتابی بر روی راندمان آتن تأثیرگذار است [۱۵]. به عبارت دیگر وقتی اختلاف بیشتری بین زاویه موج ورودی و بازتابی وجود داشته باشد، راندمان آتن کاهش می‌یابد و گلبرگ‌های فرعی بیشتری ایجاد می‌گردد. این پدیده در فراسطح نیز رخ می‌دهد. در اینجا این پدیده را برای فراسطح قطبینه و نیز فراسطح مبتنی بر قانون استنل بررسی می‌کنیم؛ به این صورت که یک موج ورودی با زاویه خاصی ارسال می‌شود و نتایج بازتاب موج برای زوایای مختلف مورد بررسی قرار



شکل ۷: حساسیت‌های الکتریکی و مغناطیسی فراسطح قطبینه با زاویه تابش  $0^\circ$  درجه و زاویه بازتاب  $60^\circ$  درجه.

$$\Delta H_{y\gamma} = -(H_{iy\gamma}) = \frac{\cos \theta_a}{\eta} e^{jky \sin \theta_a} \quad (الف)$$

$$H_{y\gamma,av} = \frac{1}{\gamma} (H_{iy\gamma}) = -\frac{\cos \theta_a}{2\eta} e^{jky \sin \theta_a} \quad (الف)$$

$$\Delta H_{z\gamma} = -(H_{rz\gamma}) = \frac{\Gamma}{\eta} e^{jky \sin \theta_b} \quad (ب)$$

$$H_{z\gamma,av} = \frac{1}{\gamma} (H_{rz\gamma}) = -\frac{\Gamma}{2\eta} e^{jky \sin \theta_b} \quad (ب)$$

$$\Delta E_{y\gamma} = -(E_{ry\gamma}) = \Gamma \cos \theta_b e^{jky \sin \theta_b} \quad (ج)$$

$$E_{y\gamma,av} = \frac{1}{\gamma} (E_{ry\gamma}) = -\frac{\Gamma}{\gamma} \cos \theta_b e^{jky \sin \theta_b} \quad (ج)$$

$$\Delta E_{z\gamma} = -(E_{iz\gamma}) = e^{jky \sin \theta_a} \quad (د)$$

$$E_{z\gamma,av} = \frac{1}{\gamma} (E_{iz\gamma}) = -\frac{1}{\gamma} e^{jky \sin \theta_a} \quad (د)$$

با جایگزین کردن (۱۷) و (۱۸) در (۱۶)، نهایتاً توابع حساسیت الکتریکی و مغناطیسی همان‌طور که در زیر نشان داده شده است، به دست می‌آیند

$$\chi_{ee}^{yy} = \frac{2 \cot \alpha y}{k_0 \cos \theta_b} \quad (الف)$$

$$\chi_{ee}^{zz} = \frac{\gamma \cos \theta_b \cot \alpha y}{k_0} \quad (ب)$$

## ۲-۵ تحقیق ذرات پراکنده‌گر

تحقیق فیزیکی فراسطوح پیچیده است و شامل سه رویکرد اصلی است. در این رویکردها، توابع حساسیت به سلول‌های واحد گسته تبدیل می‌شوند که ممکن است زمان بر و دشوار باشد. این سلول‌ها با استفاده از نرم‌افزارهای شبیه‌سازی برای محاسبه پارامترهای پراکنده‌گر مورد بررسی قرار می‌گیرند. سپس پارامترهای فیزیکی ذرات پراکنده‌گر از طریق تبدیل پارامترهای حساسیت به تابع پراکنده‌گر به دست می‌آیند و طراحی بهینه با تنظیم این پارامترها از طریق تحلیل پارامتریک یا بهینه‌سازی استاندارد انجام می‌شود. در پایان، چند سلول واحد متداول برای طراحی فراسطوح بررسی می‌شود.

### ۱-۲-۵ مدل صلیب

فراسطوح تشکیل شده از پراکنده‌گرهای فلزی به طور معمول بر روی بسترها دی‌الکتریک پیشنهاد می‌شوند و استفاده از چند لایه، تعداد درجات آزادی را افزایش می‌دهد و به ویژگی‌های بهبودیافته‌ای مانند پهنای باند بیشتر و دامنه پوشش فاز وسیع‌تر ( $\pi$ ) برای سلول واحد می‌انجامد [۴۲]. یکی از اشکال رایج برای ذرات پراکنده‌گر، صلیب اورشلیم است که در شکل ۱-۱۰-الف نشان داده شده است. این شکل مزیت پاسخ‌های جداگانه را برای پلازماسیون‌های  $x$  و  $y$  دارد که به ساده‌ترشدن تحقیق آن کمک می‌کند.

### ۲-۲-۵ پراکنده‌گرهای دی‌الکتریک

روش دوم پیاده‌سازی بر پایه ذرات پراکنده‌گر تمام دی‌الکتریک است. رزوناتورهای دی‌الکتریک دارای هر دو نوع رزونانس الکتریکی و مغناطیسی هستند. یک سلول واحد معمولی در شکل ۱-۱۰-ب نشان داده شده که شامل استوانه‌های دی‌الکتریک با مقطع دائیره‌ای و گذردهی نسبی  $e$  در بسترهای گذردهی نسبی  $\epsilon_r$  است. با تنظیم ابعاد فیزیکی رزوناتور و نسبت گذردهی  $\epsilon_r/e$ ، می‌توان رزونانس‌های الکتریکی و مغناطیسی را ادغام کرد [۴۳].

## ۶- نتیجه‌گیری

همان گونه که می‌دانیم، طراحی سطوح ساده با استفاده از روش گردایان فاز، کارایی محدودی در کنترل بازتاب بدون ایجاد امواج ناخواسته دارند. در بسیاری از مقالات برای حل این مشکل به توسعه فراسطوح پیشرفت‌های پرداخته شده است. مقاله حاضر بر روی طراحی یک فراسطوح با قابلیت تغییر قطبش متکرر بوده؛ به طوری که بتواند موج ورودی به سطح را بدون ایجاد امواج ناخواسته به صورت ایده‌آل منعکس نماید. در این مقاله، ما یک مدل ریاضی برای این سطح ارائه نمودیم که مبتنی بر شرایط انتقال صفحه‌ای تعمیم‌یافته (GSTCs) و تansورهای حساسیت الکتریکی و مغناطیسی سطحی بود. این مدل ریاضی نسبت به روش‌های سنتز دیگر، دقیق‌تر و نزدیک‌تر به ویژگی‌های واقعی سطح است. فراسطوح به دست‌آمده در این مقاله، عمدهاً بدون تلفات، غیرفعال، تکناهمسانگرد و هم‌پاسخ است. همچنین ما عملکرد این سطح را با نمونه‌های معمول فراسطوح با استفاده از شبیه‌سازی تمام موج مقایسه کردیم. این مقاله می‌تواند در مراحل اولیه سنتز فراسطوح منعکس کننده ایده‌آل مفید واقع شود. مرحله بعد از این طراحی عبارت است از ایجاد پیوند مناسب بین توابع ریاضی حساسیت الکتریکی و مغناطیسی و فراسطوح واقعی که از آرایه‌ای از سلول‌های واحد پراکنده‌گر تشکیل شده است.

می‌گیرد. ما زاویه موج ورودی را  $14^\circ$  انتخاب کردیم و چهار فراسطوح را برای انکاس این موج با زوایای  $30^\circ$ ،  $45^\circ$ ،  $60^\circ$  و  $70^\circ$  طراحی کردیم. همان طور که در شکل ۹ دیده می‌شود با افزایش زاویه انکاس، حضور امواج ناخواسته افزایش می‌یابد؛ اما این افزایش در فراسطوح قطبنده در مقایسه با فراسطوح مبتنی بر گردایان فاز بسیار کمتر و حتی ناچیز است.

تا جایی که نویسندها مقاله اطلاع دارند، هنوز مدل ریاضی مبتنی بر GSTCs برای یک سطح با انکاس کامل ارائه نشده است. در [۳۶]، پارامترهای حساسیت الکتریکی و مغناطیسی برای یک سطح مشخص شده‌اند، اما این سطح در واقع اولاً یک انتقال‌دهنده ایده‌آل است و ثانیاً ساختار این سطح به صورت دوناهمسانگرد است. اما در کاری که در این مقاله انجام شده است، پارامترهای سطحی برای سطحی که انکاس دهنده خالص است، مورد بررسی قرار گرفته‌اند. این اقدام به دلیل اهمیت کاربردی آنها در سیستم‌های مخابراتی هوشمند (RIS) صورت گرفته است. ساختار سطح به دست‌آمده در این مقاله نیز تکناهمسانگرد است که پیچیدگی آن به مرتبه کمتر از سطح با ساختار دوناهمسانگرد می‌باشد.

## ۵- نحوه پیاده‌سازی و سایر ملاحظات مربوط

تاکنون به سنتز ریاضی فراسطوح و یافتن حساسیت‌های الکتریکی و مغناطیسی بر اساس میدان‌های مشخص پرداخته‌ایم. اکنون می‌خواهیم بررسی کنیم چگونه این حساسیت‌ها می‌توانند به شکل ذرات پراکنده‌گر مرتبط شوند. اینجا مختصراً از عبارات ریاضی که حساسیت‌ها را به ذرات پراکنده‌گر مرتبط می‌کنند، ارائه و تحقیق این ذرات را بررسی می‌کنیم.

### ۱-۵ تبدیل مدل ریاضی حساسیت الکتریکی و

#### مغناطیسی به مدل پراکنده‌گر سطح

روابط صریح بین حساسیت‌های مماسی و پارامترهای پراکنده‌گر در یک فراسطوح ناهمسانگرد که با محیط‌های مختلف احاطه شده و امواج صفحه‌ای عمودی به آن تابیده می‌شود، به صورت ماتریس زیر بیان می‌گردد [۴۱] و [۳۳].

$$\bar{\bar{S}} = \bar{\bar{M}}_1 \cdot \bar{\bar{M}}_2 \quad (20)$$

که ماتریس پارامترهای پراکنده‌گر ( $\bar{\bar{S}}$ ) به صورت زیر تعریف می‌شود

$$\bar{\bar{S}} = \begin{pmatrix} \bar{\bar{S}}_{11} & \bar{\bar{S}}_{12} \\ \bar{\bar{S}}_{21} & \bar{\bar{S}}_{22} \end{pmatrix} \quad (21)$$

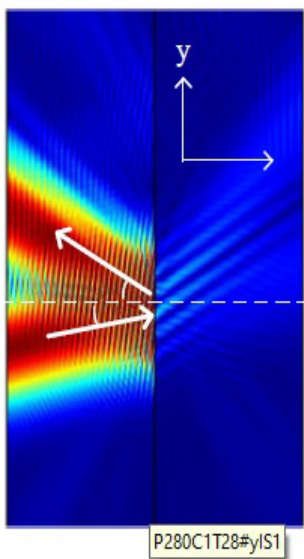
و ماتریس‌های  $M_1$  و  $M_2$  به صورت زیر بیان می‌شوند [۳۳]

$$\bar{\bar{M}}_1 =$$

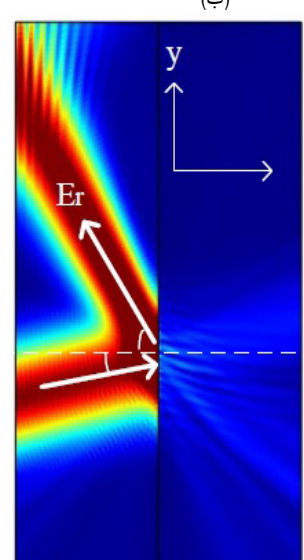
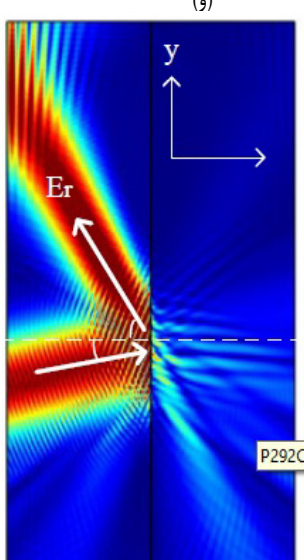
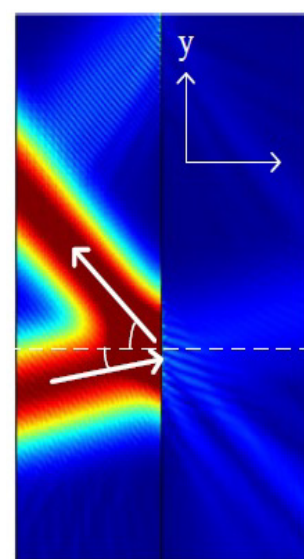
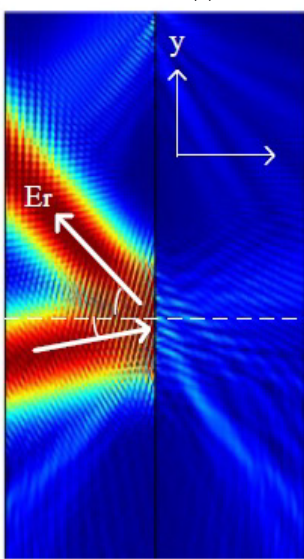
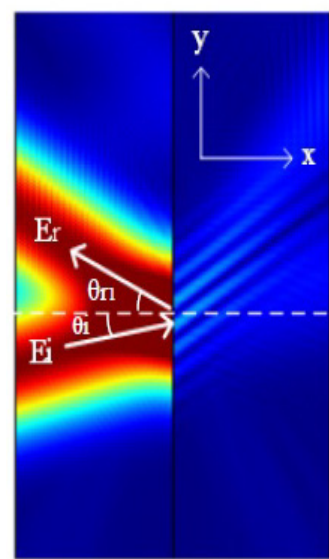
$$\begin{cases} \frac{\bar{\bar{N}}_r}{\eta_r} - \frac{\tilde{\chi}_{ee}}{2} + \frac{\tilde{\chi}_{em} \bar{\bar{N}}_l}{2\eta_l} & \frac{\bar{\bar{N}}_r}{\eta_r} - \frac{\tilde{\chi}_{ee}}{2} + \frac{\tilde{\chi}_{em} \bar{\bar{N}}_l}{2\eta_l} \\ -\bar{\bar{N}}_l \cdot \bar{\bar{N}}_r - \frac{\tilde{\chi}_{me}}{2} + \frac{\tilde{\chi}_{mm} \bar{\bar{N}}_l}{2\eta_l} & \bar{\bar{N}}_l \cdot \bar{\bar{N}}_r - \frac{\tilde{\chi}_{me}}{2} - \frac{\tilde{\chi}_{mm} \bar{\bar{N}}_l}{2\eta_l} \end{cases} \quad (22)$$

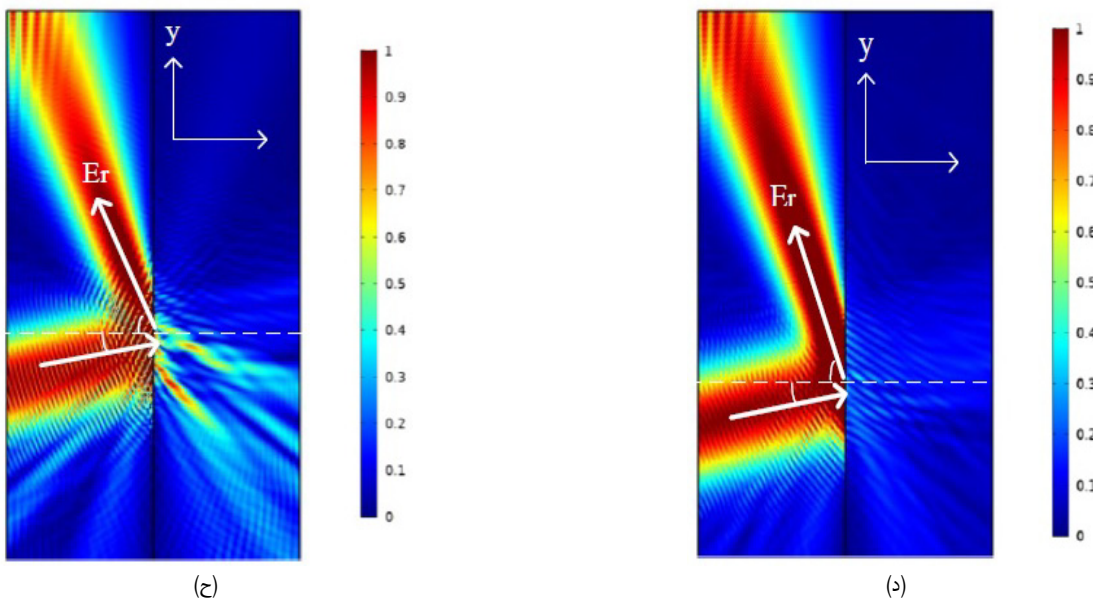
$$\bar{\bar{M}}_2 =$$

$$\begin{cases} \frac{\bar{\bar{N}}_r}{\eta_r} + \frac{\tilde{\chi}_{ee}}{2} + \frac{\tilde{\chi}_{em} \bar{\bar{N}}_l}{2\eta_l} & \frac{\bar{\bar{N}}_r}{\eta_r} + \frac{\tilde{\chi}_{ee}}{2} - \frac{\tilde{\chi}_{em} \bar{\bar{N}}_l}{2\eta_l} \\ \bar{\bar{N}}_l \cdot \bar{\bar{N}}_r + \frac{\tilde{\chi}_{me}}{2} + \frac{\tilde{\chi}_{mm} \bar{\bar{N}}_l}{2\eta_l} & -\bar{\bar{N}}_l \cdot \bar{\bar{N}}_r + \frac{\tilde{\chi}_{me}}{2} - \frac{\tilde{\chi}_{mm} \bar{\bar{N}}_l}{2\eta_l} \end{cases} \quad (23)$$



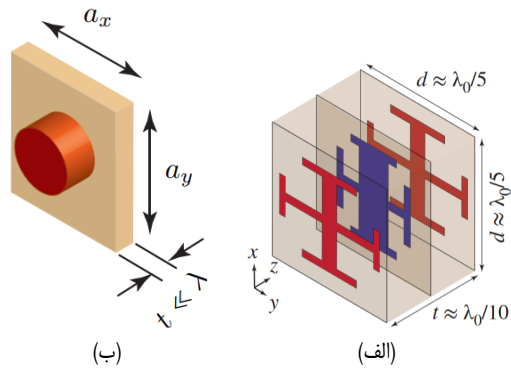
(h)





شکل ۹: قدر مطلق میدان الکتریکی کل (V/m) شبیه‌سازی شده توسط COMSOL. (الف) تا (د) مربوط به فراسطح قطبینه و (ه) تا (ج) فراسطح گرادیان فاز است؛ به طوری که  $\theta_i = ۱۴^\circ$  است و  $\theta_r$  تا  $\theta_r$  به ترتیب  $۳۰^\circ$ ,  $۴۵^\circ$ ,  $۶۰^\circ$  و  $۷۰^\circ$  درجه هستند.

- [8] Q. Wu and R. Zhang, "Intelligent reflecting surface enhanced wireless network via joint active and passive beamforming," *IEEE Trans. Wireless Commun.*, vol. 18, no. 11, pp. 5394-5409, Nov. 2019.
- [9] N. Yu, "Light propagation with phase discontinuities: generalized laws of reflection and refraction," *Science*, vol. 334, no. 6054, pp. 333-337, 1 Sept. 2011.
- [10] N. K. Grady, J. E. Heyes, D. R. Chowdhury, Y. Zeng, M. T. Reiten, A. K. Azad, A. J. Taylor, D. A. R. Dalvit, and H. T. Chen, "Terahertz metamaterials for linear polarization conversion and anomalous refraction," *Science*, vol. 340, no. 6138, pp. 1304-1307, 16 May 2013.
- [11] M. I. Shalaev, *et al.*, "High-efficiency all-dielectric metasurfaces for ultracompact beam manipulation in transmission mode," *Nano Lett.*, vol. 15, no. 9, pp. 6261-6266, 2015.
- [12] S. E. Hosseininejad, *et al.*, "Digital metasurface based on graphene: an application to beam steering in terahertz plasmonic antennas," *IEEE Trans. Nanotechnol.*, vol. 18, pp. 734-746, 2019.
- [13] R. Kargar, K. Rouhi, and A. Abdolali, "Reprogrammable multifocal THz metalens based on metal-insulator transition of VO<sub>2</sub>-assisted digital metasurface," *Opt. Commun.*, vol. 462, Article ID: 125331, May 2020.
- [14] V. S. Asadchy, *et al.*, "Perfect control of reflection and refraction using spatially dispersive metasurfaces," *Phys. Rev. B.*, vol. 94, Article ID: 075142, Aug. 2016.
- [15] J. Huang and J. A. Encinar, *Reflectarray Antennas*, Wiley, 2008.
- [16] F. Liu, D. H. Kwon, and S. A. Tretyakov, "Reflectarrays and metasurface reflectors as diffraction gratings," *IEEE Antennas and Propagation Magazine*, vol. 65, no. 3, pp. 21-32, Jun. 2023.
- [17] M. Di Renzo, F. H. Danufane, and S. Tretyakov, "Communication models for reconfigurable intelligent surfaces: from surface electromagnetics to wireless networks optimization," *Proc. of the IEEE*, vol. 110, no. 9, pp. 1164-1209, Sept. 2021.
- [18] A. Diaz-Rubio and S. Tretyakov, "Macroscopic modeling of anomalously reflecting metasurfaces: angular response and far-field scattering," *IEEE Trans. Antennas Propag.*, vol. 69, no. 10, pp. 6560-6571, Oct. 2021.
- [19] V. Degli-Esposti, E. M. Vitucci, M. Di Renzo, and S. A. Tretyakov, "Reradiation and scattering from a reconfigurable intelligent surface: a general macroscopic model," *IEEE Trans. Antennas Propag.*, vol. 70, no. 10, pp. 8691-8701, Oct. 2022.
- [20] A. Diaz-Rubio, V. Asadchy, A. Elsakka, and S. Tretyakov, "From the generalized reflection law to the realization of perfect anomalous reflectors," *Science Advances*, vol. 3, no. 8, Article ID: 1602714, 11 Aug. 2017.
- [21] N. Estakhri and A. Alu, "Wave-front transformation with gradient metasurfaces," *Physical Review X*, vol. 6, no. 4, Article ID: 041008, 2016.



شکل ۱۰: نمونه‌هایی از سلول‌های واحد برای طراحی فراسطح، (الف) سلول واحد با سه صلیب اورشلیم فلزی (PEC) که توسط لایه‌های دی‌الکتریک از هم جدا شده‌اند [۴۲] و (ب) سلول واحد فراسطح تمام دی‌الکتریک که شامل یک رزوناتور دی‌الکتریک جاسازی شده در یک زیرلایه با ثابت دی‌الکتریک متفاوت است [۴۳].

## مراجع

- [1] A. Araghi, "Reconfigurable intelligent surface (RIS) in the sub-6 GHz band: design, implementation, and real-world demonstration," *IEEE Access*, vol. 10, pp. 2646-2655, 2022.
- [2] E. Basar, M. Di Renzo, J. De Rosny, M. Debbah, M. Alouini, and R. Zhang, "Wireless communications through reconfigurable intelligent surfaces," *IEEE Access*, vol. 7, pp. 116753-116773, 2019.
- [3] Q. Wu, S. Zhang, B. Zheng, C. You, and R. Zhang, "Intelligent reflecting surface aided wireless communications: tutorial," *IEEE Trans. Commun.*, vol. 69, no. 5, pp. 3313-3351, May 2021.
- [4] S. B. Glybovski, S. A. Tretyakov, P. A. Belov, Y. S. Kivshar, and C. R. Simovski, "Metasurfaces: from microwaves to visible," *Phys. Rep.*, vol. 634, pp. 1-72, May 2016.
- [5] M. Di Renzo, "Smart radio environments empowered by reconfigurable intelligent surfaces: how it works, state of research, and the road ahead," *IEEE J. Sel. Areas Commun.*, vol. 38, no. 11, pp. 2450-2525, Nov. 2020.
- [6] M. Di Renzo, F. H. Danufane, and S. Tretyakov, *Communication Models for Reconfigurable Intelligent Surfaces: From Surface Electromagnetics to Wireless Networks Optimization*, <https://arxiv.org/abs/2110.00833>, 2021.
- [7] C. Huang, A. Zappone, G. C. Alexandropoulos, M. Debbah, and C. Yuen, "Reconfigurable intelligent surfaces for energy efficiency in wireless communication," *IEEE Trans. Wireless Commun.*, vol. 18, no. 8, pp. 4157-4170, Aug. 2019.

- of refracting metasurfaces without spurious diffraction," *IEEE Trans. Antennas Propag.*, vol. 66, no. 3, pp. 1321-1330, Mar. 2018.
- [37] S. Sun, *et al.*, "High-efficiency broadband anomalous reflection by gradient meta-surfaces," *Nano Lett.*, vol. 12, no. 12, pp. 6043-6506, Dec. 2012.
- [38] A. Pors, M. G. Nielsen, R. L. Eriksen, and S. I. Bozhevolnyi, "Broadband focusing flat mirrors based on plasmonic gradient metasurfaces," *Nano Lett.*, vol. 13, no. 2, pp. 829-834, Feb. 2013.
- [39] M. Kim, A. M. H. Wong, and G. V. Eleftheriades, "Optical huygens metasurfaces with independent control M. Veysi, C. Guclu, O. Boyraz, and F. Capolino, "Thin anisotropic metasurfaces for simultaneous light focusing 2015.
- [40] K. Achouri and O. J. F. Martin, "Fundamental properties and classification of polarization converting bianisotropic metasurfaces," *IEEE Trans. Antennas Propag.*, vol. 69, no. 9, pp. 5653-5663, Sept. 2021.
- [41] K. Achouri and C. Caloz, *Electromagnetic Metasurfaces: Theory and Applications*, Wiley-IEEE Press, 2021.
- [42] K. Achouri, *et al.*, "Synthesis of electromagnetic metasurfaces: principles and illustrations," *EPJ Appl. Metamater.*, vol. 2, no. 12, Article ID: 2015016, Jan. 2015.

**الهام مرادی** در سال ۱۳۶۶ در کرمان متولد شد. وی مدرک کارشناسی و کارشناسی ارشد خود را در رشته مهندسی برق از دانشگاه شهید باهنر کرمان به ترتیب در سال‌های ۱۳۹۳ و ۱۳۸۹ دریافت کرد. وی از سال ۱۳۹۶ دوره دکتری خود را در رشته مهندسی برق در دانشگاه پیزد آغاز کرده است. همچنین، در سال‌های ۱۴۰۱ تا ۱۴۰۲ او به عنوان پژوهشگر فرست مطالعاتی در دانشگاه کنوردیا، کانادا، فعالیت داشته است. زمینه‌های پژوهشی فعلی او شامل فناوری تقسیم توان مایکروویو، دستگاه‌ها، مدارها و سیستم‌های غیرفعال مایکروویو، فراسطوح و مخابرات نسل پنجم (5G) و بالاتر است.

**مسعود موحدی** در سال ۱۳۷۷ مدرک کارشناسی مهندسی برق خود را از دانشگاه صنعتی شریف و در سال‌های ۱۳۷۹ و ۱۳۸۶ مدرک کارشناسی ارشد و مدرک دکتری مهندسی برق خود را از دانشگاه صنعتی امیرکبیر دریافت نمود. نامبرده از سال ۱۳۸۶ تا ۱۳۹۲ در بخش مهندسی برق دانشگاه شهید باهنر کرمان به عنوان عضو هیأت علمی مشغول به فعالیت بود. دکتر موحدی از سال ۱۳۹۲ تاکنون عضو هیأت علمی دانشکده مهندسی برق دانشگاه پیزد می‌باشد. زمینه‌های تحقیقاتی مورد علاقه ایشان متعدد بوده و شامل موضوعاتی مانند روش‌های عددی در الکترومغناطیس، آتن‌ها، ساختارهای غیرفعال مایکروویو و ساختارهای پیچیده الکترومغناطیسی مانند فراماد و فراسطوح می‌باشد.

- [22] D. H. Kwon, "Lossless scalar metasurfaces for anomalous reflection based on efficient surface field optimization," *IEEE Antennas Wireless Propag. Lett.*, vol. 17, no. 7, pp. 1149-1152, Jul. 2018.
- [23] J. Budhu and A. Grbic, "Perfectly reflecting metasurface reflectarrays: mutual coupling modeling between unique elements through homogenization," *IEEE Trans. Antennas Propag.*, vol. 69, no. 1, pp. 122-134, Jan. 2021.
- [24] X. Wang, A. Diaz-Rubio, and S. A. Tretyakov, "Independent control of multiple channels in metasurface devices," *Phys. Rev. Applied*, vol. 14, Article ID: 024089, Aug. 2020.
- [25] D. H. Kwon, "Planar metasurface design for wide-angle refraction using interface field optimization," *IEEE Antennas Wireless Propag. Lett.*, vol. 20, no. 4, pp. 428-432, Apr. 2021.
- [26] O. Rabinovich and A. Epstein, "Analytical design of printed circuit board (PCB) metagratings for perfect anomalous reflection," *IEEE Trans. Antennas Propag.*, vol. 66, no. 8, pp. 4086-4095, Aug. 2018.
- [27] O. Rabinovich, I. Kaplon, J. Reis, and A. Epstein, "Experimental demonstration and in-depth investigation of analytically designed anomalous reflection metagratings," *Phys. Rev. B*, vol. 99, Article ID: 125101, Mar. 2019.
- [28] O. Rabinovich and A. Epstein, "Arbitrary diffraction engineering with multilayered multielement metagratings," *IEEE Trans. Antennas Propag.*, vol. 68, no. 3, pp. 1553-1568, Mar. 2020.
- [29] C. Pfeiffer and A. Grbic, "Bianisotropic metasurfaces for optimal polarization control: analysis and synthesis," *Phys. Rev. Applied*, vol. 2, Article ID: 044011, Oct. 2014.
- [30] M. Selvanayagam and G. Eleftheriades, "Polarization control using tensor huygens surfaces," *IEEE Trans. Antennas Propag.*, vol. 62, no. 12, pp. 6155-6168, Dec. 2014.
- [31] T. Niemi, A. Karilainen, and S. Tretyakov, "Synthesis of polarization transformers," *IEEE Trans. Antennas Propag.*, vol. 61, no. 6, pp. 3102-3111, Jun. 2013.
- [32] M. A. Salem and C. Caloz, "Manipulating light at distance by a metasurface using momentum transformation," *Opt. Express*, vol. 22, no. 12, pp. 14530-14534, Jun. 2014.
- [33] K. Achouri, M. A. Salem, and C. Caloz, "General metasurface synthesis based on susceptibility tensors," *IEEE Trans. Antennas Propag.*, vol. 63, no. 7, pp. 2977-2991, Jul. 2015.
- [34] X. Jia, X. Dang, X. Pan, and M. Wang, "Metasurfaces design using primary elements and characteristic models: connection between SSM/SPM and circuit quantities," *IEEE Trans. Antennas Propag.*, vol. 71, no. 3, pp. 2837-2842, Mar. 2023.
- [35] G. Cai, X. Liu, T. Shen, *et al.*, "A full-vectorial spectral element method with generalized sheet transition conditions for high-efficiency metasurface/metafilm simulation," *IEEE Trans. Antenn Propag.*, vol. 71, no. 3, pp. 2652-2660, Mar. 2023.
- [36] G. Lavigne, K. Achouri, V. S. Asadchy, S. A. Tretyakov, and C. Caloz, "Susceptibility derivation and experimental demonstration